

## C2

### Fe(50Å)/[Co(17Å)/Fe(tÅ)/Cu(24Å)]<sub>20</sub> 다층박막의 자기저항 특성 연구

숙명여대 : 최규리\*, 김미양, 최수정, 송은영, 이용호, 이장로  
상지대 : 황도근, 이상석  
단국대 : 이기암, 박창만

### A study on the magnetoresistance of Fe(50Å)/[Co(17Å)/Fe(tÅ)/Cu(24Å)]<sub>20</sub> multilayers

Sookmyung Women's Univ. K.L.Chi\*, M.Y.Kim, S.J.Chi, E.Y.Song, and J.R.Rhee  
Sangji Univ. D.G.Hwang, S.S.Lee  
Dankook Univ. K.A.Lee, C.M.Park

#### 1. 서 론

최근 다양한 자성 다층박막에서 나타나는 거대자기저항 효과와 전동 교환 결합은 많은 흥미를 불러 일으켜 왔다.[1,2] 특히, Fe/Cr과 Co/Cu 다층막의 거대자기저항은 학문적 관심과 자기센서 등의 응용에서 많은 연구가 집중되어 왔다.[1,3] 본 연구에서는 스퍼터링 방식으로 만들어진 Co와 Cu 다층막 사이에 얇은 Fe층을 삽입하여 자기저항 거동을 관찰하였으며 저온 열처리가 미치는 영향에 대해 연구하였다.

#### 2. 실험방법

DC Magnetron Sputtering 방법으로 Corning glass 위에 다층박막 Fe(50Å)/[Co(17Å)/Fe(tÅ)/Cu(24Å)]<sub>20</sub> ( $t_{Fe} = 0, 0.09, 0.15, 0.21, 0.3, 0.6, 1.5, 2.1\text{\AA}$ )을 제작하였다. 증착률은 small angle X-선 회절에 의해 결정되는 층의 두께에 의해 Calibrating하였으며, 얇은 놋쇠판 mask를 사용하여 자기저항 측정용 시료를 만들었다. 이와같이 제작한 시편을 500°C이하의 온도에서 2시간씩 열처리하여 열처리 온도에 따른 자기저항 거동을 관찰하였다. 시료 구조는 Cu K $\alpha$  복사선을 이용한 XRD로 분석하였으며 자기저항 곡선은  $\pm 1\text{K Oe}$  범위의 자기장 속에서 four-terminal method로 측정하였다. 시료전동형자력계로 자기이력 곡선을 측정하여 자기적 성질을 조사하였고 표면 분석을 위해 AFM(Atomic Force Microscope)을 이용하였다.

#### 3. 실험결과 및 고찰

Fe 사이층을 삽입하지 않았을때 ( $t_{Fe} = 0\text{\AA}$ ) 최대 자기저항비는 상온에서 23%인 반면 Fe를 사이층으로 삽입했을때 26%( $t_{Fe} = 0.15\text{\AA}$ )까지 증가하였으며 사이층 Fe 두께가 두꺼워짐에 따라 다시 자기저항비가 감소함을 나타냈다.(Fig. 1) XRD 측정결과  $2\theta \approx 41, 44^\circ$ 에서 peak를 나타냈으며  $41^\circ$  peak가 증가하면서 MR(Magnetoresistance)이 커짐을 나타냈다. Fig. 2는 glass/Fe(50Å)/[Co(17Å)/Fe(0.15Å)/Cu(24Å)]<sub>20</sub> 시편의 열처리 온도에 따른 자기저항 변화를 보여준다. 300°C까지는 자기저항이 증가하다가 그 이상의 온도에서는 감소하였다. 이러한 경향은 시료전반에 대해 관찰할 수 있었다.

#### 4. 결 론

스퍼터링 방법으로 제작된 Co와 Cu 사이에 얇은 Fe층을 삽입하므로써 나타나는 자기저항 특성변화와 열처리 조건에 따른 구조변화를 연구하여 다음과 같은 결론을 얻었다.

- ① 사이층 Fe의 두께가 0.15Å일 때 자기저항비는 Fe를 삽입하지 않은 Co/Cu 다층막에서보다 증가하였

으며 사이층 Fe 두께가 두꺼워짐에따라 감소하는 경향을 나타내었다.

② 적당한 온도에서의 열처리는 자기저항비를 증가시킬 수 있으며 높은 온도에서의 열처리는 계면학산을 일으켜 자기저항비의 감소를 가져오는 것을 알 수 있었다.

## 5. 참고문헌

- ① M.N Baibich, J.M. Broto, A. Fert, F. Nguyen van Dau, F. Petroff, P.E. Etienne, G. Creuzet, A. Friederich, and J. Chazelas, Phys. Rev. Lett., **61**, 2472 (1988).
- ② S. S. P. Parkin, R. Bhadra, and K. P. Roche, Phys. Rev. Lett., **66**, 2152 (1991).
- ③ S. S. P. Parkin, Z. G. Li and D. J. Smith, Appl. Phys. Lett., **58**, 2710 (1991).

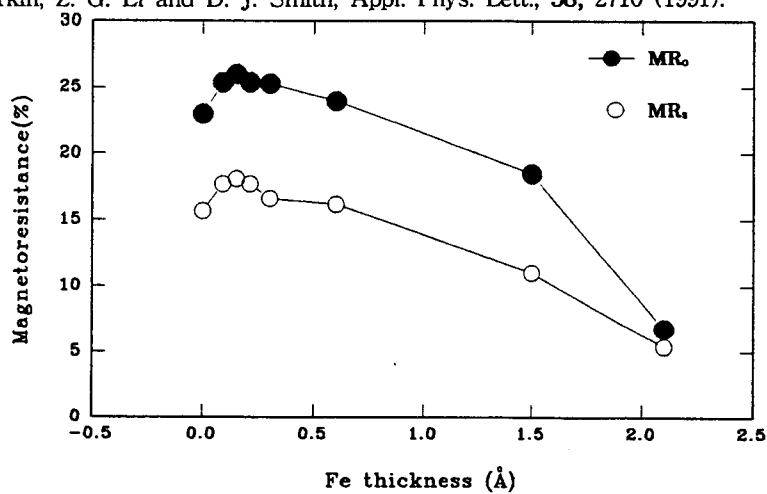


Fig. 1. Dependence of the magnetoresistance on Fe layer thickness in glass/Fe(50 Å)/[Co(17 Å)/Fe(t Å)/Cu (24 Å)]<sub>20</sub>.

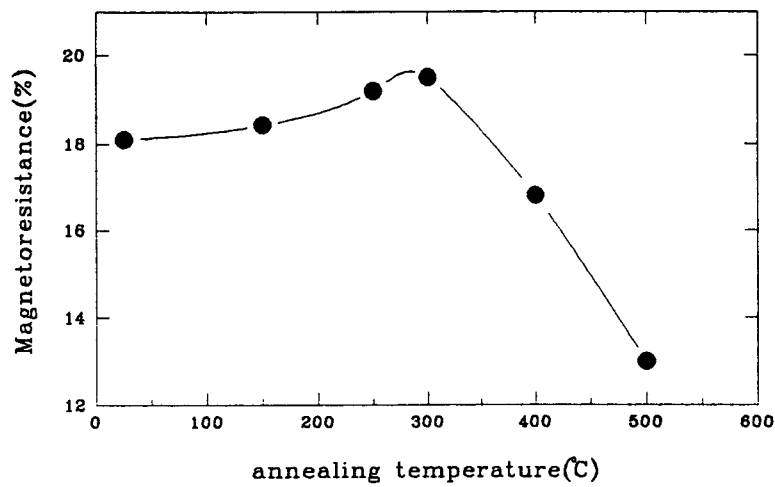


Fig. 2. Dependence of the magnetoresistance on the annealing temperature of glass/Fe(50 Å)/[Co(17 Å)/Fe(0.15 Å)/Cu (24 Å)]<sub>20</sub>.